

TERMI[^]NA OBDELAVA NERJAVNEGA JEKLA ZA GRADNJO UVV SISTEMOV

THERMAL TREATMENT OF STAINLESS STEEL FOR UHV SYSTEMS

VINCENC NEMANI[^], T. BOGATAJ

ITPO, Institut za tehnologijo povrⁱⁿ in optoelektroniko Teslova 30, 1111 Ljubljana, Slovenija

Prejem rokopisa - received: 1997-10-01; sprejem za objavo - accepted for publication: 1997-12-19

Nerjavno jeklo je najpogosteje uporabljen konstrukcijski material za izdelavo posod, v katerih 'elimo ustvariti ultra visoki vakuum, (UVV). @al pa intersticijsko raztopljen vodik, ki se spro{a iz kovine, ote'uje doseganje UVV. Sprejemljiva jakost spro{anja z enote povr{ine je v obmo{ju 10^{-12} mbar.l/(s.cm²)². Kar dosegamo danes le s predhodno toplotno obdelavo v vakuumu. Teorija vakuumskega razplinjevanja je dolga desetletja slonela na teoriji difuzije. Zaradi popolnega neujemanja pri doseganju nizkih vrednosti razplinjevanja je bila v zadnjem -asu dopolnjena z upo{tevanjem re kombinacije atomov vodika na povr{ini, ki skupaj z difuzijo vodika iz materiala dolo{a dinamiko spro{anja in s tem kon-ni tlak. Izmerjene vrednosti re kombinacijskega koeficiente K_L na razli-ne na-ine obdelanih povr{in se razlikujejo za ve- velikostnih razredov. Velik pomen imajo sestava in struktura oksidov kot dele' segregiranih primesi. V -langu je prikazan vpliv K_L na jakost razplinjevanja in dose'eno stopnjo razplinjenosti med procesiranjem, ki ga lahko predo-imo na brezdimenzijski -asovni skali, ki velja sicer za difuzijo. Napravljena je ra-unalnička simulacija razplinjevanja za razli-na razmerja difuzijske konstante D in K_L , kar omogo-a enoli-no dolo{itev prednosti posameznega postopka predobdelave, ki jih sre-ujemo zadnja leta v literaturi kot nadomestilo za dolgotrajno termi-no obdelavo v vakuumu.

Klju-ne besede: razplinjevanje vodika, re kombinacija, simulacija razplinjevanja

Stainless steel with its unique mechanical properties is the most frequently used material for manufacturing chambers and components for ultrahigh vacuum (UHV). Its disadvantage is hydrogen outgassing which makes obtaining of UHV troublesome. Vacuum annealing and prolonged in situ bake out are applied methods to reduce the outgassing rate to acceptable level of 10^{-12} mbar.l/(s.cm²). Theory of hydrogen outgassing based for decades on diffusion as limiting mechanism which completely failed when very low outgassing rates were required. Recombination limited outgassing was introduced recently and explains the required duration and temperature of bake out better than just diffusion limited theory. Measured values of recombination rate K_L are scattered over orders of magnitude which shows the importance of surface composition and it's structure. The surface of stainless steel is covered with oxides and other deposits which persist normal cleaning procedure. In the paper, outgassing rates are given on the dimensionless scale of previous thermal treatment for reported range of recombination coefficient K_L . Numerical simulations of bake out with different values of D and K_L are made in order to predict required procedure to obtain very low outgassing rates. Our diagrams enable to evaluate also the advantage of modern surface treatment methods as a replacement of prolonged vacuum bake out.

Key words: hydrogen outgassing, recombination, outgassing simulation

1 UVOD

Za zmanj{anje razplinjevanja nerjavnega jekla na raven, ki jo zahtevamo pri UVV-komponentah, je prehodna termi-na obdelava neizbe'na. Kljub izredni skrbi za -isto-o in dolgem -rpanju pa je doseganje tlaka v obmo{ju, ni'jem od 10^{-11} mbar, ko je prevladujo- plin vodik, izredno te'avno. Ve-inu u-benikov vakuumske tehnike priporo-a dogotrajno 'arjenje v visokem vakuumu, med katerim pospe{imo proces difuzije. Preostalo razplinjevanje po taki obdelavi pojasnjujejo z zamrznjenim gradientom, ki poganja upo-asnjeno difuzijo. Ujemanja med teorijo in meritvami pa se mo-no razha-jajo v primerih, ko -as procesiranja t mo-no presega enoto brezdimenzijskega -asa, pogosto ozna-enega z Fo. Vpeljemo ga lahko z naslednjo splo{no definicijo:

$$F_o = \frac{1}{d^2} \int_0^t D_H(T,t) dt = \frac{D_0}{d^2} \int_0^1 \exp(-E_D/kT(t)) dt \quad (1)$$

kjer je d - polovica debeline plo{e, za temperaturno od-visnost difuzijske konstante D_H je v (1) privzeta zveza,

upo{tevaje {e aktivacijsko energijo E_D za preskok vodi-ka na sosednje mesto v mre'i:

$$D_H(T) = D_0 \cdot \exp(-E_D/kT) \quad (2)$$

2 MATEMATI[^]NI MODELI OPISA KINETIKE RAZPLINJEVANJA

Trenutno koncentracijo in razplinjevanje lahko izrazi-mo analiti-no za dva mejna primera, ko je razplinjevanje omejeno:

1) z difuzijo, -as procesiranja je bil dovolj kratek, da velja $F_o < 1$. Za potek koncentracije in hitrost razplinjevanja pri konstantni T je mo- uporabiti analiti-ne izra-une. Ujemanje z meritvami je zadovoljivo, -e pred-postavimo, da je gradient zamrznjen, difuzijska konstanta pa zmanj{ana z Boltzmanovim faktorjem, ena-ba (2).

$$q_{out}(t) = D(T(t)) \cdot \left. \frac{\partial C(x,t)}{\partial x} \right|_{x=d} \quad (3)$$

Dele' preostalega plina v plo{i, oz. povpre-na kon- centracija G se s -asom hitro zni'uje (eksponentu je

$-\pi^2 F_0 / 4$). Nekaj vrednosti za dele' izgnanega plina, $P = (C_0 \cdot G) / C_0$ je v **tabeli 1**. Za termi~no obdelavo pri izbrani povi{ani temperaturi T , ki ga opravimo s hitrim segrevanjem in ohlajanjem, je izraz (1) enak: $F_0 = D(T) \cdot t / d^2$.

Tabela 1: Dele' plina v steni, ki se je sprostil z difuzijo, v odvisnosti od {tevila F_0

Table 1: Ratio of the gas, released from a plate by diffusion, after stated Fo number

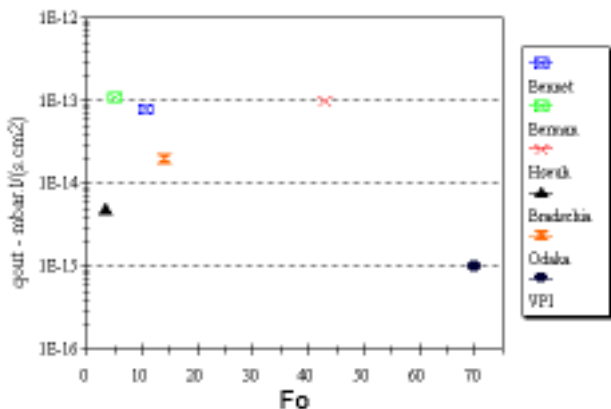
F_0	0,1	0,2	0,5	1	2	3
P	0,110	0,503	0,764	0,931	0,9942	0,9995

Opis z difuzijsko ena-bo pa je povsem nerealen, ~e ga uporabimo tudi za primere, ko je $F_0 >> 1$, kar potrjujejo mnogi eksperimentalni podatki za vakuumsko 'arjenje. Po procesiranju, ki ga predstavimo z $F_0 \approx 3$, bi moralo biti za ve~ino primerov natan~nosti metode razplinjevanje kon~ano.

2) z rekombinacijo. Za ~as procesiranja, ki je razmeroma dolg za $F_0 >> 1$, se gradient prakti~no iznisi, razplinjevanje bi se moralo po difuzijskem modelu povsem ustaviti. To se v praksi ne zgodi, ker poteka dvo-fazni proces rekombinacije v kovini atomarno raztopljenega vodika na povr{ini, prekriti z oksidom in drugimi ne-isto-ami: ogljik, 'veplo itd., bistveno po~neje od difuzije. Kinetiko v tem primeru opi{emo z izrazom:

$$q_{out}(t) = K_L(T) \cdot C^2(x,t)|_{x=4d} \quad (4)$$

Kjer je K_L - rekombinacijski koeficient, ki ga izrazimo z dvema parametroma; predeksponentnim ~lenom in aktivacijsko energijo za disociacijo E_c na posamezni vodikov atom: $(K_L = K_{L0} \exp(-2E_c/kT) = K_{L0} \exp(-T^{**}/T))$ in $T^{**} = 2E_c/k$. Sprememba koncentracije s ~asom je tako enaka:



Slika 1: Pregled literaturnih podatkov dose'ene stopnje razplinjevanja q_{out} na sobni temperaturi v odvisnosti od brezdimenzijskega ~asa, oz {tevila F_0 . Za procesiranje so bili uporabljeni razli~ni termi~ni postopki

Figure 1: Room temperature outgassing rates q_{out} after various thermal treatment given in cited references, presented on the dimensionless F_0 number scale

$$\begin{aligned} \frac{dC(x,t)}{dt} &= \frac{K_L(T(x,t))}{d} \cdot C^2(x,t)|_{x=d} = \\ &= \frac{K_{L0}}{d} \cdot \exp(-T^{**}/T(t)) \cdot C^2(x,t)|_{x=d} \end{aligned} \quad (5)$$

Izraz (5) integriramo v mejah ~asa procesiranja od $t = 0$ oz. od za~etne koncentracije $C(t=0) = C_1$ in dobimo za izbrano temperaturo:

$$\frac{1}{C(x,t)} = \frac{1}{C_1} + \frac{K_L(T)}{d} \cdot t \quad (6)$$

Jakost razplinjevanja pri sobni temperaturi je tako dolo~ena s (4), to je s produktom kvadrata koncentracije in K_{L1} .

Za vmesne vrednosti, ko je koncentracija na povr{ini v obmo~ju $C^* = D/(K_{L1} \cdot d)$, analiti~ni izra~uni niso poznani, uporabimo pa lahko numeri~ne metode.

3 PRIMERJAVA MERJENIH VREDNOSTI RAZPLINJEVANJA V UVV

Kot prvo merilo veljavnosti teorije, kjer je rekombinacija najpo~asnej{i proces, je meritev jakosti razplinjevanja pri sobni temperaturi po predhodnem procesiranju, ki znatno presega $1F_0$. Iz ob{irnih literaturnih podatkov se vakuumsko 'arjenje poka~e kot razmeroma neu~inkovito^{2,3}. Dosti u~inkovitej{e je podalj{ano vakuumsko pregrevanje na temperaturi 200°C - 400°C ^{4,5}. Najni~je vrednosti razplinjevanja so dosegli, ~e so predhodno razplinjevali jeklo na zraku na temperaturi 200°C - 400°C ^{4,6,7}. Na **sliki 1** je zbranih nekaj literaturnih podatkov z najni~imi vrednostmi q_{out} , izmerjenimi po predhodnem termi~nem postopku, prevedenem na brezdimenzijsko skalo {tevila F_0 .

Podatki o direktno merjenem $K_L(T)$ (cm^4/s) se v literaturi dokaj razlikujejo^{10,11}. V UVV-tehniki je malo verodostojnih meritev jakosti razplinjevanja v odvisnosti od temperature in od predhodnega termi~nega postopka. Moore⁸ je vzel za izhodi~e vrednosti iz meritev Hseuh². V omejenem temperaturnem obmo~ju dobljene vrednosti K_{L1} so zbrane v **tabeli 2**.

Med podatki o K_L , razen opombe o tipu predhodne obdelave, v omenjenih ~lankih ni podatkov ustreznih analiz kemijske sestave oz. strukture povr{inske plasti. Literatura s podro~ja UVV tehnike navaja podatke o sestavi povr{ine in o dose' enem razplinjevanju, ki pa so le redko opremljeni z vrednostjo K_L , ki bi pojasnil merjene vrednosti. Le-to lahko dobimo posredno iz za~etne koncentracije in simulacije dogajanja med razplinjevanjem. Za dolo~itev T^{**} in K_{L0} je potrebno izmeriti {e nekaj vrednosti q_{out} pri razli~nih temperaturah in rezultat primerjati z razplinjevanjem na sobni temperaturi. Korelacija med razmerami pri procesiranju (~as, temperatura, sestava atmosfere) in sestavo povr{ine ob koncu bi omogo~ala mnogo natan~nej{o izbiro optimalnega postopka obdelave nerjavnega jekla.

Tabela 2: Merjene vrednosti $K_L(T)$ v (cm^4/s) iz označenih virov, vrednosti K_{Li} in $C^* = D/(d.K_{Li})$ za 540K in 300K
Table 2: Experimental values of $K_L(T)$ in (cm^4/s) from cited references, and K_{Li} and $C^* = D/(d.K_{Li})$ at 540K and 300K

merjene vrednosti/eksperimental values	$K_{Li}(540\text{K})$	$C^*(540\text{K})$	$K_{Li}(300\text{K})$	$C^*(300\text{K})$	obdelava/treatment	Vir: Ref:
$K_{L1}=9.6 \cdot 10^{-20} \exp(-3935\text{K}/T)$	$6.6 \cdot 10^{-23}$	$1.2 \cdot 10^{17}$	$1.9 \cdot 10^{-25}$	$2.3 \cdot 10^{15}$	ion-jedk.	10
$K_{L2}=1.3 \cdot 10^{-17} \exp(-9240\text{K}/T)$	$4.8 \cdot 10^{-25}$	$1.6 \cdot 10^{19}$	$5.4 \cdot 10^{-31}$	$8.3 \cdot 10^{20}$	elekt.pol.	10
$K_{L3}=1.0 \cdot 10^{-19} \exp(-4870\text{K}/T)$	$1.3 \cdot 10^{-23}$	$6.2 \cdot 10^{17}$	$9.3 \cdot 10^{-27}$	$4.8 \cdot 10^{16}$	num.ekst.	8
$K_{L4}=9.3 \cdot 10^{-19} \exp(-7300\text{K}/T)$	$1.2 \cdot 10^{-24}$	$6.3 \cdot 10^{18}$	$2.5 \cdot 10^{-29}$	$1.8 \cdot 10^{19}$	ion.jedk.	11
$K_{L5}=1.2 \cdot 10^{-20} \exp(-5660\text{K}/T)$	$3.3 \cdot 10^{-25}$	$2.4 \cdot 10^{19}$	$7.7 \cdot 10^{-29}$	$5.9 \cdot 10^{18}$	oksid.	11
$K_{L6}=4.7 \cdot 10^{-17} \exp(-10760\text{K}/T)$	$8.8 \cdot 10^{-26}$	$8.8 \cdot 10^{19}$	$1.2 \cdot 10^{-32}$	$3.6 \cdot 10^{22}$	H_2 akt.	11
$K_{L7}=1.2 \cdot 10^{-18} \exp(-6592\text{K}/T)$	$6.0 \cdot 10^{-24}$	$1.3 \cdot 10^{18}$	$3.4 \cdot 10^{-28}$	$1.32 \cdot 10^{18}$	model	12

4 EKSPERIMENT IN NJEGOVA RAČUNALNIKA SIMULACIJA

Pri temu močnosti izdelave tankostenskih vakuumskih posod iz nerjavnega jekla, v katerih mora biti izolativni vakuum vsaj deset let, naletelimo na zahtevo, da je razplinjevanje enote površine pod $q_{out} = 1.10^{-15} \text{ mbar.l/(s.cm^2)}$. Tako nizkih vrednosti za vodik, ki je najbolj zastopan v preostali atmosferi, v literaturi {e ne zaslediti, **slika 1**. Z uporabo getrov zahtevi v praktičnih primerih lahko ugodimo, 'al njihovo aktiviranje ni vedno izvedljivo. Zanimala nas je druga pot, torej razplinjenje materiala do zahtevane stopnje. Za procesiranje vakuumskih izolacijskih panelov (skr. VPI!) smo izbrali razmeroma nizko temperaturo, 260°C in ~asome omejili na 24 h. Podobni pogoji zagotavljajo ponovno vzpostavitev UVV v predhodno razplinjeni posodi, ki je bila nekaj ~asa izpostavljena zračni atmosferi³.

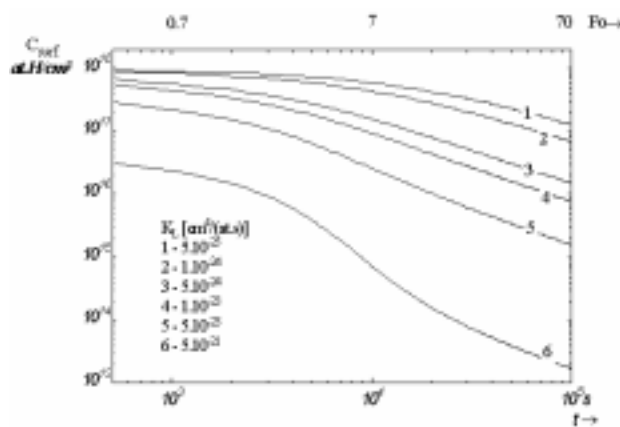
Za preizkus močnosti napovedi jakosti razplinjevanja q_{out} (300K), kjer je najpozneje proces rekombinacija, smo ga simulirali z lastnim numeričnim programom na osebnem računalniku. Za primerjavo smo imeli preskusni vzorec, pri katerem smo spremljali naračanja tlaka z viskoznostnim merilnikom skoraj eno leto. Rezultat je bila vrednost $q_{out} \approx 1.10^{-15} \text{ mbar.l/(s.cm^2)}$, s predpostavko in korekcijo za vodik. Z metodo AES smo analizirali površino nerjavnega jekla na istem vzorcu: pred-

termično obdelavo in na vakuumski strani stene po ~rpanju in enoletni meritvi.

5 REZULTATI

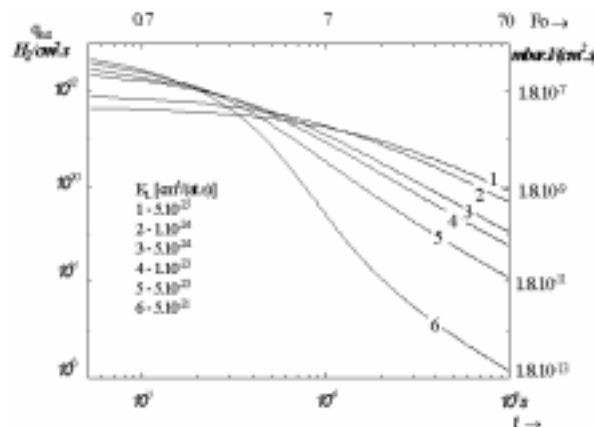
Pri izbrani temperaturi in ~asu je procesiranje po enabah (1) in (2) pomenilo $Fo \approx 70$, kar kaže na izredno intenzivno obdelavo stene. Difuzija pripelje do izenačitve koncentracije v steni 'e po nekaj Fo . Ključni parameter, ki določa nadaljnji re' im razplinjevanja je K_L . Ta določa t.i. kritično koncentracijo C^* , ko preide difuzijsko omejeno razplinjevanje v rekombinacijsko omejeno. Iz zvezne $C^* = D(T)/(d.K_L(T))$ je razvidno, da je prehod na~ina razplinjevanja odvisen od temperature. Sievertov zakon določa tudi kritični tlak. Iz topnostne konstante $K_{s0} = 2.6 \cdot 10^{19} \text{ at.H}/(\text{cm}^3 \cdot \text{bar}^{0.5})$ in entalpije raztopljanja (8 kJ/mol) je razvidno, da parcialni tlak vodika med procesiranjem ni bistvena kolikotina. Ravnotežna koncentracija C_{eq} v zraku prisotnega vodika $p(H_2) = 10^{-4} \text{ mbar}$ le' i daleč pod ravnovesjem za vse vrednosti C^* iz **tabeli 2**, in sicer sta ti vrednosti $C_{eq}(300\text{K}) \approx 3.10^{14} \text{ H/cm}^3$ in $C_{eq}(540\text{K}) \approx 2.10^{15} \text{ H/cm}^3$. Za načelo debelino stene smo predstavili zničevanje površinske koncentracije in jakosti razplinjevanja za 10^5 s oz. 28 h pri določenih K_L , pri 540 K, **slika 2 in slika 3**.

Za začetno koncentracijo smo izbrali $10^{18} \text{ at.H}/\text{cm}^3$. ~asovna skala je predstavljena {e v Fo enotah, (zgoraj),



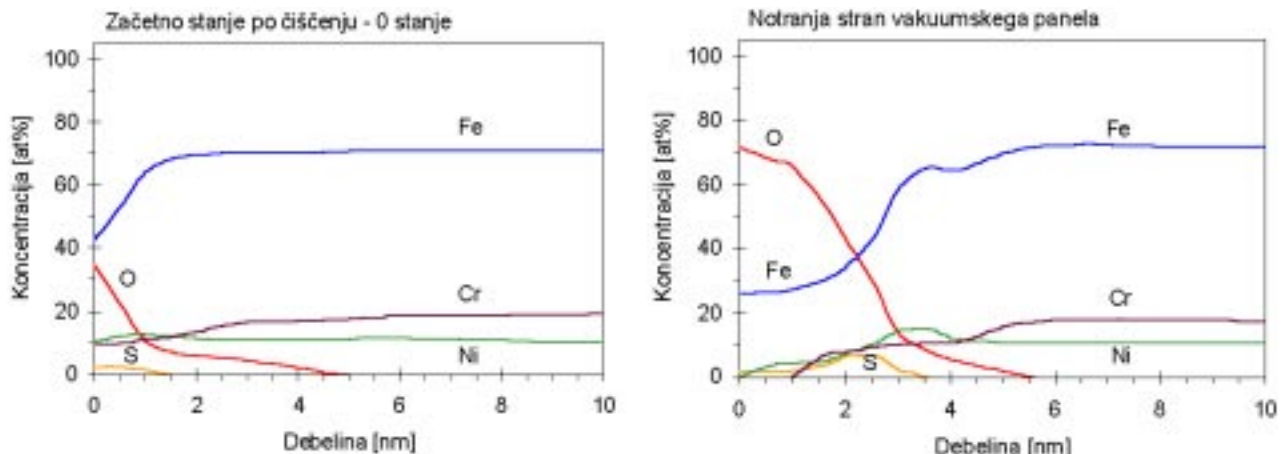
Slika 2: Zničevanje površinske koncentracije s ~asom pri 540 K za različne vrednosti K_L

Figure 2: Decreasing of surface concentration with time at 540 K and given K_L values



Slika 3: Zničevanje jakosti razplinjevanja s ~asom pri 540 K za različne vrednosti K_L

Figure 3: Decreasing of outgassing rate q_{out} with time at 540 K for given K_L values



Slika 4: Profilni diagram AES sestave povr{inske plasti stene iz nerjavnega jekla, jedkano z Ar ion 5kV, a - pred procesiranjem, b - po procesirjanju in spremajanju nara{anja tlaka skoraj eno leto

Figure 4: AES composition profiles of stainless steel sample surface sputtered by Ar ions at 5kV, a - before pumping, b - after processing and one year of pressure rise measurement

jakost razplinjevanja q_{out} pa je predstavljena kot {tevilo molekul $H_2/(cm^2.s)$ in v enotah mbar.l/(cm².s), (desna skala). Napoved jakosti razplinjevanja pri sobni temperaturi je mo'na z ekstrapolacijo vrednosti K_L iz **tabele 2** in dobljeno koncentracijo s **slike 2** in **slike 3**. Indeksi pri numeri-ni simulaciji in indeksi iz **tabele 2** se ne ujemajo. Krivulja oz. potek 1 s slike ustrezata K_{L2} in K_{L5} , poteku 2 je najbli'je K_{L4} , poteku 3 je najbli'ji model za K_{L7} , poteku 4 K_{L3} in poteku 5 najbli'je K_{L1} , potek 6 je dodan za primerjavo razplinjevanja izredno ~iste povr{ine. Pri-akovane vrednosti razplinjevanja pri sobni temperaturi bi bile torej: za K_{L1} - $1.8 \cdot 10^{-14}$ mbar.l/(cm².s), za K_{L2} - $5.2 \cdot 10^{-16}$ mbar.l/(cm².s), za K_{L3} - $2.5 \cdot 10^{-14}$ mbar.l/(cm².s), za K_{L4} - $2.0 \cdot 10^{-15}$ mbar.l/(cm².s), K_{L5} - $7.2 \cdot 10^{-14}$ mbar.l/(cm².s) in za K_{L7} - $1.0 \cdot 10^{-15}$ mbar.l/(cm².s).

Rezultat profilne analize z metodo AES notranje strani stene vzorca pred zapiranjem in po procesirjanju in enoletnem spremajanju nara{anja tlaka je na **sliki 4**. Izmerjena vrednost q_{out} ob predpostavki, da je prete'no zastopen vodik, je bila v obmo-ju 10^{-15} mbar.l/(cm²s). Vzorec je bil odprt in prenesen v analizno posodo, kjer se je VV vzpostavil v ~15 minutah.

6 ANALIZA REZULTATOV

Rezultati simulacije za {est vrednosti K_L , povzetih iz literature, so presenetljivi. Razplinjevanje se po procesirjanju 70 Fo razlikuje pri sobni temperaturi za slaba dva razreda, do-im se ekstrapolirane vrednosti K_L razlikujejo za sedem velikostnih razredov. Izmerjena nizka vrednost razplinjevanja je kljub absolutno gledano kratkemu ~asu in nizki temperaturi segrevanja torej pri-akovana in je posledica tanke stene, kar se izrazi v velikem {tevilu Fo.

Pasivacijska plast, ki jo predstavlja predvsem kromov oksid, se je na povr{ini nerjavnega jekla pri ~i{-enju z detergentom ohranila. Presene-a razlika v debelini in

sestavi oksidov na povr{ini pred vakuumskim procesiranjem in po njem. Domnevamo, da je razlog za pove-anje debeline 'elezovega oksida med procesiranjem lahko neugodno razmerje ~rpalne hitrosti proti povr{ini vzorca. Nadaljnja oksidacija je lahko pri povi{ani temperaturi potekala zaradi vode, preden se je popolnoma desorbirala. @lezov oksid na permeacijo in rekombinacijo vodika ne vpliva tako izrazito kot kromov oksid, vendar so tolma-enja rezultatov meritev v zvezi z razplinjevanjem razli-na^{7,9}.

Rezultate na{ih izra-unov padanja koncentracije s **slike 2** lahko uporabimo tudi za druga-no temperaturo procesiranja poljubno debele stene. Za ordinatno os vpeljemo mnogokratnik C/C*, poiskati moramo moramo razmerje D/K_L, ki se spremeni zaradi razli-ne aktivacij-ske energije za difuzijo, podane s T* oz. za rekombinacijo, podane s T**. Za absciso obr' imo brezdimenzijsko skalo Fo, druga-no za-ethno koncentracijo pa izrazimo v mnogokratniku C*. Pri isti za-ethni koncentraciji je ta mnogokratnik za debelej{o steno manj{i, torej ugodnej{i. Seveda pa je na dejanski ~asovni skali pove-evanje Fo dolgo in zato drago.

7 SKLEP

Za merilo u-inkovitosti posamezne temi-ne obdelave nerjavnega jekla (AISI 304L ali 316LN) smo primerjali vrednosti razplinjevanja vodika pri sobni temepraturi na brezdimenzijski skali, ki velja za difuzijo. Predhodna oksidacija na zraku pri povi{ani temperaturi izgleda danes naju-inkovitej{i postopek pri izdelavi UVV-posod, ki je hkrati bistveno enostavnej{i in cenej{i od vakuumskega 'arjenja. Kadar je stena razmeroma tanka, pa lahko izredno nizke vrednosti dose'emo 'e samo med standarnim postopkom segrevanja in ~rpanja¹. Simulacija dinamike razplinjevanja pri temperaturi 260°C in 24 h z objavljenimi in izmerjenimi vrednostmi rekombinacij-ske koeficiente, ki smo jo izvedli na ra-unalku, ne

da napovedi, boljje od dveh razredov velikosti. Izmerjena nizka vrednost pa sovpada s sredino izra~unanega intervala.

Teoreti~ni modeli za opis mehanizma rekombinacije vodika na oksidirani povr{ini slone na hipotezah in so tako za opis na tehni-nih povr{in danes {e malo uporabni⁹. Na K_L vpliva toliko dejavnikov, da bo v prihodnosti potrebno s komplementarnimi kemijskimi in fizikalnimi analiznimi metodami dobljene podatke o sestavi in strukturi povr{ine primerjati z rezultati, ovrednotenimi z natan~nimi vakuumskimi meritvami. Interes za nadzorovano spremi{njanje K_L pa je velik, saj bi to omogo~ilo bistveno skraj{anje in pocenitev vakuum-skega procesiranja, potrebnega za doseganje UVV oz. ekstremno visokega vakuma.

8 LITERATURA

- ¹V. Nemani~, *Kovine, zlitine, tehnologije*, 31 (1997) 3-4
- ²H. C. Hseuh, X. Cui: *J. Vac. Sci. Technol.*, A7 (1989) 3
- ³A. S. Berman, J. K. Fremerey: *J. Vac. Sci. Technol.*, A5 (1987) 4
- ⁴J. R. J. Bennett, R. J. Elsey: *Vacuum*, 44 (1993) 5-7
- ⁵H. F. Dylla, *Vacuum*, 47 (1996) 6-8
- ⁶C. Bradaschia, (osebna komunikacija)
- ⁷K. Odaka, S. Ueda, *J. Vac. Sci. Technol.*, A13 (1995) 3
- ⁸B. C. Moore: *J. Vac. Sci. Technol.*, A13 (1995) 3
- ⁹P. M. Richers et al, *J. Appl. Phys.*, 65 (1989) 1
- ¹⁰S. M. Myers, W. R. Wampler, *J. Appl. Phys.*, 56 (1984) 6
- ¹¹D. M. Grant, D. L. Cummings, D. A. Blackburn, *J. Nucl. Mater.*, 149 (1987) 180-191
- ¹²I. Ali-Khan et al, *Jour. Nucl. Mater.*, 76-77 (1978) 337-343